

薄肉曲線橋の二、三の特性について

京都大学工学部 正員 小西一郎
 京都大学工学部 正員 神部俊一
 日立造船 K.K 正員 重見五男

1. まえがき

この研究は閉断面薄肉曲線橋の二次せん断ひずみを考慮した場合の断面力、応力の分布の特性について種々検討をして。¹⁾

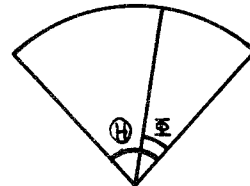
2. 基礎方程式²⁾

$$\begin{aligned} \frac{d^2 M_x}{d\theta^2} + M_y = -R_s (M_x^* + R_s \frac{du^*}{d\theta}) \\ \frac{d^2 M_y}{d\theta^2} - \mu^2 M_x^* = -K R_s (M_y + R_s M_y^*) \\ \frac{d^2 \varphi}{d\theta^2} + \varphi = -\frac{\mu^2}{G J_T} M_y^* - \frac{R_s}{G J_T} (K + \beta) M_y - \frac{K^2}{G J_T} M_x^* \\ \frac{du^*}{d\theta} = -\frac{R_s^2}{E J_y} M_y - R_s \varphi \\ M_x^* = \frac{1}{R_s} \left(\frac{d\varphi}{d\theta} - \frac{1}{R_s} \frac{du^*}{d\theta} \right) \quad z = 12, \quad u^*: \text{せん断中心軸の面外変形} \\ T_s^* = G J_T^* \gamma_z^* \quad \gamma: \text{断面のねじれ回転角} \\ T_y^* = \frac{1}{R_s} M_y^* \quad \gamma_z^*: \text{せん断中心軸のねじり率} \end{aligned}$$

3. 基礎方程式の解式

せん断中心に鉛直集中荷重が作用した場合と、集中トルクが作用した場合について示す。

曲げモーメント M_θ	
鉛直集中	$R_s P \frac{\sin(\theta-\pi)}{\sin(\theta)} \sin \theta \quad (0 \leq \theta \leq \pi)$
荷重が作用	$R_s P \frac{\sin(\theta-\pi)}{\sin(\theta)} \sin \pi \quad (\pi \leq \theta \leq \theta)$
集中トルク	$T \frac{\sin(\theta-\pi)}{\sin(\theta)} \sin \theta \quad (0 \leq \theta \leq \pi)$
が作用	$T \frac{\sin(\theta-\pi)}{\sin(\theta)} \sin \pi \quad (\pi \leq \theta \leq \theta)$



曲げねじりモーメント M_θ^*	
鉛直集中	$R_s P \frac{K}{1+\mu^2} \left\{ \frac{\sin(\theta-\pi)}{\sin(\theta)} \sin \theta - \frac{\sin \theta \mu (\theta-\pi)}{\sin \theta \mu \theta} \frac{1}{\mu} \sinh \mu \theta \right\} \quad (0 \leq \theta \leq \pi)$
荷重が作用	$R_s P \frac{K}{1+\mu^2} \left\{ \frac{\sin \pi}{\sin(\theta)} \sin(\theta-\pi) - \frac{\sin \pi \mu}{\sin \theta \mu} \frac{1}{\mu} \sinh \mu (\theta-\pi) \right\} \quad (\pi \leq \theta \leq \theta)$
集中トルク	$T \frac{K}{1+\mu^2} \left\{ \frac{\sin(\theta-\pi)}{\sin(\theta)} \sin \theta + \sqrt{1-\frac{\sin^2(\theta-\pi)}{\sin^2 \theta}} \frac{\sinh \sqrt{1-\mu^2} \theta}{\sinh \sqrt{1-\mu^2} \theta} \sinh \mu \theta \right\} \quad (0 \leq \theta \leq \pi)$
が作用	$T \frac{K}{1+\mu^2} \left\{ \frac{\sin(\theta-\pi)}{\sin(\theta)} \sin \pi + \sqrt{1-\frac{\sin^2(\theta-\pi)}{\sin^2 \theta}} \frac{\sinh \sqrt{1-\mu^2} (\theta-\pi)}{\sinh \sqrt{1-\mu^2} \theta} \sinh \mu \pi \right\} \quad (\pi \leq \theta \leq \theta)$
一次ねじりモーメント T_θ^*	
鉛直集中	$R_s P \left\{ \frac{R_s \gamma^*}{1+\mu^2} \frac{\sin(\theta-\pi)}{\sin(\theta)} \cos \theta + \frac{K}{1+\mu^2} \frac{\sinh \mu (\theta-\pi)}{\sinh \mu \theta} \cosh \mu \theta - \frac{\pi}{\theta} \right\} \quad (0 \leq \theta \leq \pi)$
荷重が作用	$-R_s P \left\{ \frac{R_s \gamma^*}{1+\mu^2} \frac{\sin \pi}{\sin(\theta)} \sin \pi + \frac{K}{1+\mu^2} \frac{\cos \theta \sinh \mu (\theta-\pi)}{\sinh \mu \theta} \sinh \mu \pi - \frac{\pi}{\theta} \right\} \quad (\pi \leq \theta \leq \theta)$
集中トルク	$T \left\{ (K \lambda + K) \frac{\sin(\theta-\pi)}{\sin(\theta)} \cos \theta - K \lambda \frac{\sinh \mu (\theta-\pi)}{\sinh \mu \theta} \cosh \mu \theta \right\} \quad (0 \leq \theta \leq \pi)$
が作用	$-T \left\{ (K \lambda + K) \frac{\sin \pi}{\sin(\theta)} \cos \pi - K \lambda \frac{\sinh \mu \pi}{\sinh \mu \theta} \cosh \mu (\theta-\pi) \right\} \quad (\pi \leq \theta \leq \theta)$
二次ねじりモーメント T_θ^{**}	
鉛直集中	$R_s P \frac{K}{1+\mu^2} \left\{ \frac{\sin(\theta-\pi)}{\sin(\theta)} \cos \theta - \frac{\sinh \mu (\theta-\pi)}{\sinh \mu \theta} \cosh \mu (\theta-\pi) \right\} \quad (0 \leq \theta \leq \pi)$

荷重が作用	$-R_s P \left\{ \frac{\pi}{1+\mu^2} \frac{\cos(\theta-\delta)}{\sin(\theta)} \sin \pi + \frac{\pi}{1+\mu^2} \frac{\cosh \mu(\theta-\delta)}{\sin \mu(\theta)} \sinh \mu \pi \right\}$	($\pi \leq \theta \leq \theta$)
集中トルク	$\mp \frac{\pi}{1+\mu^2} \left\{ \frac{\sin(\theta-\pi)}{\sin(\theta)} \cos \theta + \mu^2 \frac{\sinh \mu(\theta-\pi)}{\sin \mu(\theta)} \cosh \mu \theta \right\}$	($\theta \leq \theta \leq \pi$)
か作用	$-\mp \frac{\pi}{1+\mu^2} \left\{ \frac{\cos(\theta-\delta)}{\sin(\theta)} \sin \pi + \mu^2 \frac{\cosh \mu(\theta-\delta)}{\sin \mu(\theta)} \sinh \mu \pi \right\}$	($\pi \leq \theta \leq \theta$)

数値計算例として右図の

ごとき断面形状を有する単

純合成箱桁を考える。こ

こ、曲率半径 $R = 48710m$

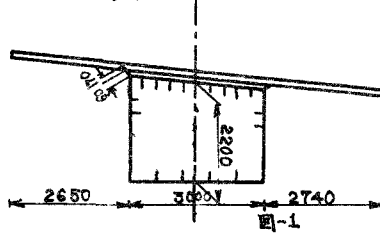
中心角 $\theta = 39175^\circ$

ねじり定数 $J_z = 2.475 \times 10^9 cm^4$

曲げねじり定数 $C_w = 8.219 \times 10^6 cm^6$

$\nu = 0.311$

断面形状



4. 考察

(図-2～図-4)において実線は $\nu=0.311$ M_w^* の場合(二次せん断ひずみを考慮)と、 $x(10^3 \pi)$

点線は $\nu=\infty$ の場合(二次せん断ひずみを考慮しない)を示している。また、 $\nu=0.2$ の場合は集中トルクがスパン中央に作用した場合の断面力、すなはてその0.6倍の断面上のせん断流を示したものである。0.8倍の曲げねじりモーメント倍は一般に1.0倍の横断面形状が同一ならスパン長が大きくなるほど局部的かつ大きくなるとするが、 $\nu=\infty$ では局部的で傾向より顕著で、その値は過大なものと示してある。

⑩一次ねじりモーメ

ント T_z^* と二次ねじりモーメント T_w^* の合ねじりモーメントは $L=0.311$ と $\nu=\infty$ と一致するが集中トルクの作用断面附近では(図-3,4)の如く著しく異なる。したがって、その断面のせん断流の分布が大きく異なる。すなはち、 $\nu=0.311$ の場合のせん断流の分布は図-5へくであり、 $\nu=\infty$ の場合の合せん断流の分布は図-6の分布と約4.22倍に拡大したものである。

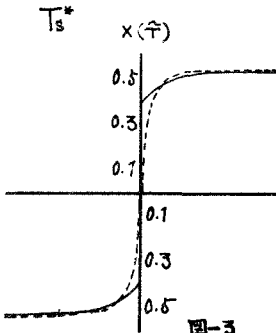


図-3

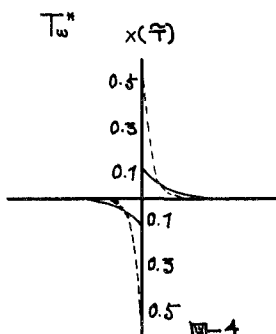


図-4

S. Tennantのせん断流($10^6 \pi/cm^3$)

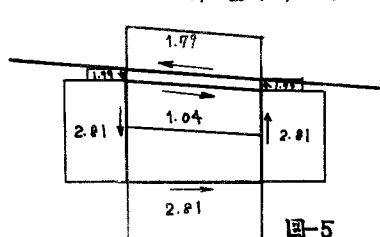


図-5

二次せん断流($\times 10^{-6} \pi/cm^3$)

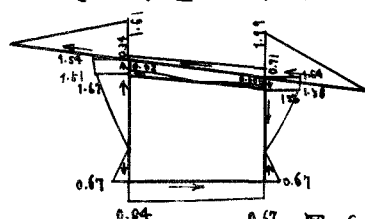


図-6

合せん断流($\times 10^{-6} \pi/cm^3$)

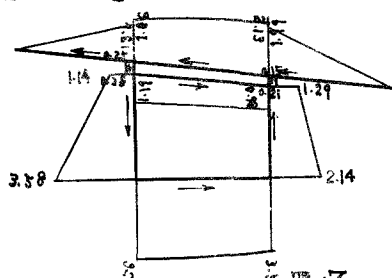


図-7

参考文献

- 小西,白石,神部: 円弧曲線桁の曲げねじり理論について, 第14回橋梁・構造工学発表会
講演集